

Погрешности отдельных каскадов не зависят друг от друга и могут быть про-
суммированы как случайные величины. Отсюда погрешность преобразователя, состоя-
щего из шести каскадов, составляет

$$d\Theta = \sqrt{6} d\Theta_k = 3',5. \quad (2)$$

Для экспериментальной проверки был изготовлен макет со следующими данны-
ми: количество разрядов 10, диапазон преобразования от 0 до 90°, вес младшего раз-
ряда 5', сетевое напряжение 30 в 400 гц. Точность была проверена путем отработки
выходных данных преобразователя следящей системой, состоящей из синусо-косинус-
ного вращающегося трансформатора типа ВТ-5 класса А, усилителя УР-16А и двига-
теля АДП-1. Угол отработки определялся оптической делительной головкой ОДГ-60
с точностью 20''. Погрешность макета с контактной коммутацией (тумблерами) не
превышает 5', погрешность макета с транзисторными ключами не превышает 7'.

ЛИТЕРАТУРА

1. А. М. Эльбирт. Трансформаторный преобразователь код — аналог. — Автометрия, 1967, № 1.
2. H. Finden, B. Hoglock. The Inductosyn and its Applications.— The Journal of Britisch Institution of Radio Engineers, 1957, № 17, p. 369.
3. К. А. Брусиловский, С. Ю. Элькинд. Бесконтактное реле на полупроводнико-
вых триодах.— Автоматика и телемеханика, 1963, № 5.

Поступило в редакцию
10 мая 1968 г.

УДК 621.3

В. В. КУРОЧКИН
(Новосибирск)

ПРЕЦИЗИОННЫЙ НИЗКОВОЛЬТНЫЙ СТАБИЛИЗАТОР НАПРЯЖЕНИЯ

Как показано в [1, 2], построение прецизионного источника напряжения с по-
грешностью 0,002% для питания измерительных цепей весьма сложно. Это объясня-
ется в основном тем, что временная и температурная нестабильности стабилизаторов
напряжения оказываются значительными и превышают допустимые значения этих по-
грешностей для источника напряжения с заданной точностью. Особые трудности воз-
никают при создании стабилизаторов, когда опорное напряжение больше выходного.
В этой работе рассматривается один из возможных способов построения преци-
зионного низковольтного стабилизатора напряжения, разработанного для цифрового
вольтметра постоянного тока.

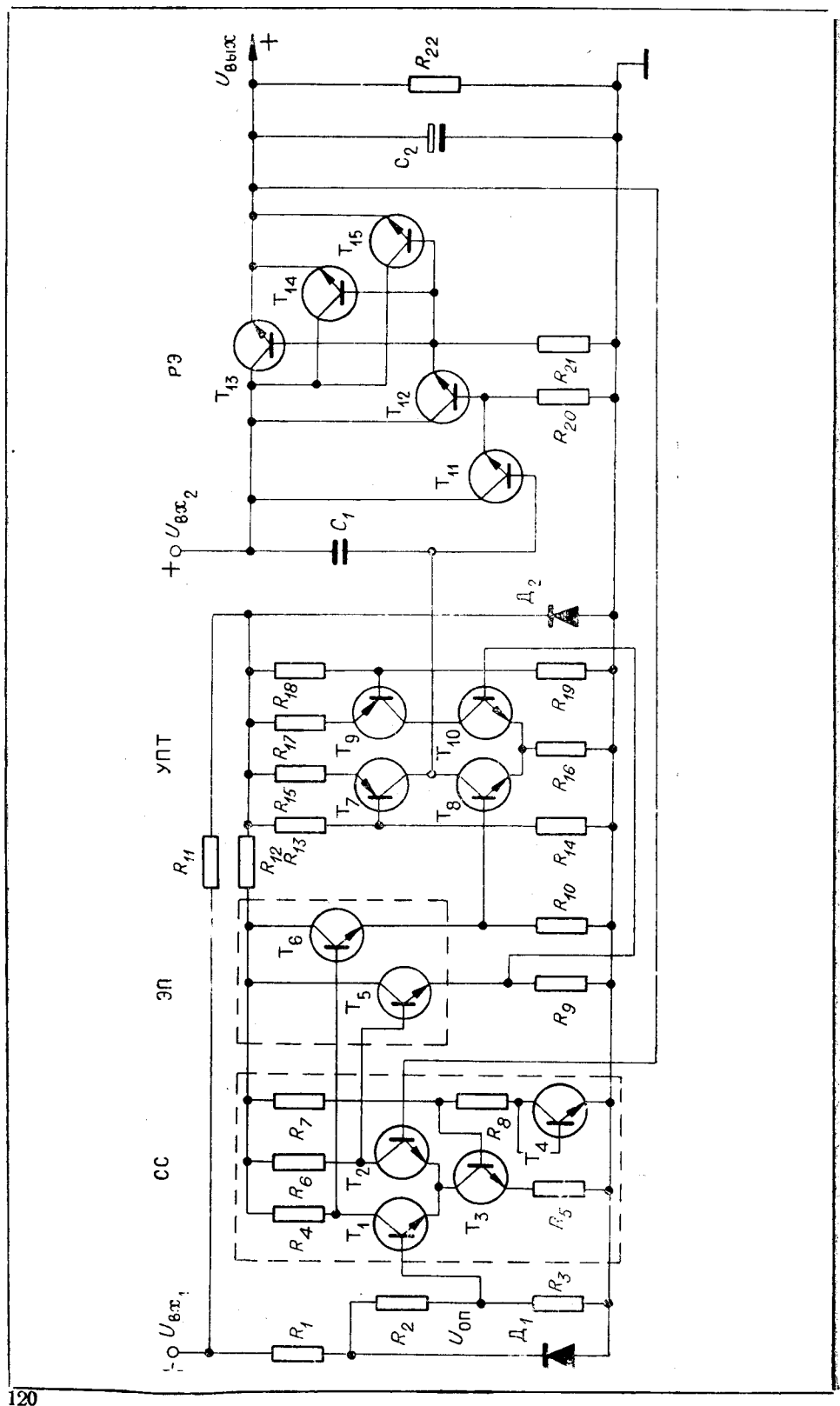
Известно, что построение прецизионных стабилизаторов в случае переменной
нагрузки возможно лишь по компенсационной схеме.

Обычная блок-схема источника стабильного напряжения содержит схему сравне-
ния (СС) выходного напряжения $U_{\text{вых}}$ стабилизатора с некоторым опорным напря-
жением $U_{\text{оп}}$, разность которых после усиления усилителем постоянного тока (УПТ)
управляет регулирующим элементом [1]. В таких стабилизаторах погрешность напря-
жения $U_{\text{вых}}$ определяется в основном нестабильностью напряжения $U_{\text{оп}}$ и дрей-
фом СС, величины которых в данном случае должны быть менее 0,001%.

СС с высоким температурным коэффициентом (ТК) может быть выполнена на
основе дифференциального усилителя постоянного тока [1]. При этом получение аб-
солютной температурной нестабильности такого усилителя, приведенной ко входу, по-
рядка 300 мкв в диапазоне температур 20—50°С требует специальной схемы термо-
компенсации [3]. Такая величина температурного дрейфа СС вызовет изменение напря-
жения $U_{\text{вых}}$ на 0,03%, что не позволяет построить стабилизатор напряжения с задан-
ной погрешностью.

Наиболее целесообразно применение в качестве СС для прецизионных стабили-
заторов интегральных дифференциальных усилителей постоянного тока (см. рисунок).

Основными усиливающими элементами являются транзисторы T_1 и T_2 . Транзис-
тор T_3 осуществляет стабилизацию суммы эмиттерных токов T_1 и T_2 , термокомпенсация



перехода база — эмиттер которого осуществляется транзистором T_4 в диодном включении. Абсолютный ТК такого усилителя, как показывают измерения, составляет величину, меньшую чем $\pm(1\text{--}3) \text{ мкв}/^\circ\text{C}$ при $E_k = 3\text{--}5 \text{ в}$. Входное сопротивление интегрального усилителя составляет 200—500 ком, при этом оно очень мало изменяется с изменением температуры. Это дает возможность напряжение $U_{\text{оп}}$ формировать с помощью параметрического стабилизатора с последующим его делением на низкоомном прецизионном делителе.

С использованием стабилитронов типа D818E, которые имеют относительный $\text{TK} \pm 0,001\%/\text{C}$, возможно получение напряжения $U_{\text{оп}}$ с погрешностью 0,005—0,01% при повышении температуры на 20°C . Дополнительную термокомпенсацию напряжения можно произвести изменением протекающего через стабилитроны тока. Но при токах меньше 2 ма резко возрастает динамическое сопротивление стабилитрона, а значит, резко падает коэффициент стабилизации параметрического стабилизатора, что нежелательно. Поэтому окончательную термокомпенсацию напряжения $U_{\text{оп}}$ можно произвести с помощью резисторов типа БЛП, которые обладают относительным ТК:

$$\gamma_{\text{БЛП}} = -(1,2 \div 2,5) \cdot 10^{-2} \% /^\circ\text{C}.$$

Если относительный ТК напряжения $U_{\text{оп}}$ положителен и его величина известна, то резистор БЛП необходимо поставить вместо части нижнего манганинового резистора R_3 делителя, а номинал этого резистора можно определить с учетом ТК СС из следующего соотношения [1]:

$$R_{\text{БЛП}}^{\text{н}} = -(R_2 + R_3) \frac{\gamma_{\text{оп}} \pm \gamma_{\text{СС}}}{\gamma_{\text{БЛП}}}.$$

Если опорное напряжение уменьшается с увеличением температуры, то термозависимый резистор необходимо поставить вместо части верхнего резистора делителя. Тогда

$$R_{\text{БЛП}}^{\text{в}} = (R_2 + R_3) \frac{n}{1 - n} \frac{\gamma_{\text{оп}} \pm \gamma_{\text{СС}}}{\gamma_{\text{БЛП}}}; \quad n = \frac{R_3}{R_2 + R_3}.$$

Такими способами возможно получение $U_{\text{оп}}$, а следовательно, и $U_{\text{вых}}$ с температурной погрешностью $\pm 0,001\%$ при нагревании на 20°C . Следует отметить, что включение резистора БЛП в делитель почти не ухудшает временной стабильности опорного напряжения, так как эти резисторы являются высокостабильными элементами.

Для получения высокого коэффициента стабилизации по входному напряжению и одновременно с этим малого выходного сопротивления стабилизатора необходимо иметь значительный коэффициент усиления усилителя постоянного тока (УПТ). Температурный и временной дрейфы УПТ ослабляются в 20 раз (коэффициент усиления СС). Как показано в [4], дифференциальный усилитель при использовании одного выхода обладает температурной нестабильностью, которая на порядок — два меньше, чем для небалансной схемы усилителя. Существенное увеличение коэффициента усиления дифференциального усилителя возможно, если вместо коллекторных нагрузочных резисторов поставить токостабилизирующие транзисторы T_7 и T_9 (см. рисунок) (для небалансного усилителя такой способ увеличения коэффициента усиления описан в [5]). Приведенный ко входу дрейф такого усилителя оказывается такого же порядка, как и обычного дифференциального каскада. Отметим, что за счет токостабилизирующих транзисторов осуществляется частичная стабилизация выходных напряжений в предложенном усилителе при изменении источника питания E_k , что является желательным при использовании только одного выхода.

Принципиальная схема прецизионного стабилизатора напряжения изображена на рисунке. Напряжение $U_{\text{оп}}$, получаемое на стабилитроне D_1 , делится на резисторах R_2 , R_3 до величины 1,2—1,7 в. Для того чтобы $U_{\text{оп}}$ не зависело от изменения напряжения сети, параметрический стабилизатор R_1D_1 питается предварительно стабилизованным напряжением $U_{\text{вх}}$. Это же напряжение используется для питания коллекторных цепей УПТ на транзисторах T_7 — T_{10} и СС на транзисторах T_1 — T_4 . Для согласования уровней напряжений, а также входного и выходного сопротивлений между СС и УПТ поставлены эмиттерные повторители (ЭП) на транзисторах T_5 , T_6 . Чтобы не внести дополнительную погрешность в СС из-за различных ТК транзисторов эмиттерных повторителей, для них выбрана интегральная схема, в которой оба транзистора выполнены на одной подложке в одном корпусе. Регулирующий элемент (РЭ) стабилизатора напряжения выполнен на транзисторах T_{10} — T_{14} .

Экспериментальные исследования такого источника питания показали, что он обладает следующими характеристиками: выходное напряжение 1,5 в; нагрузочный ток 20 ма; коэффициент стабилизации 20 000; выходное сопротивление $0,5 \cdot 10^{-3}$ ом; временной дрейф 1 мкв/ч; температурный дрейф 1 мкв/ $^\circ\text{C}$; допустимые колебания сетевого напряжения $\pm 10\%$.

Полная величина нестабильности напряжения $U_{\text{вых}}$ может быть найдена путем сложения составляющих частных нестабильностей. Но поскольку вероятность самого неблагоприятного сочетания всех воздействующих факторов падает с увеличением их числа, то в целом нестабильность напряжения $U_{\text{вых}}$ стабилизатора можно определить как среднеквадратичную всех составляющих [2], которая для рассмотренного случая не превышает 0,002%.

Л И Т Е Р А Т У Р А

1. С. Д. Додик. Полупроводниковые стабилизаторы постоянного напряжения и тока. М., «Советское радио», 1962.
2. В. И. Карпов. Полупроводниковые компенсационные стабилизаторы напряжения и тока. М., «Энергия», 1967.
3. В. И. Диценко. Применение полупроводниковых дифференциальных усилителей в качестве нуль-органов аналого-цифровых преобразователей.— Доклады научно-техн. конференции по итогам научно-исслед. работ за 1964—1965 гг. Секция по автоматике, вычислительной и измерительной технике, подсекция электроизмерительной техники. М., МЭИ, 1965.
4. В. И. Анисимов. К расчету нестабильности режима и дрейфа нуля усилительных каскадов на транзисторах.— В сб. «Полупроводниковые приборы и их применение», вып. 8. М., «Советское радио», 1962.
5. В. М. Белов. Низковольтный стабилизатор напряжения на полупроводниковых элементах.— Изв. СО АН СССР, 1964, № 6, вып. 2.

Поступило в редакцию
25 июня 1968 г.